

تحلیل پایداری تونل، ترانشه ورودی و گوههای داخل تونل راه‌آهن قزوین-رشت-انزلی کیلومتر ۴۷+۴۰۰، با استفاده از استریوونت و شبیه‌سازی رایانه‌یی

حسین حسنی (استادیار)

دانشکده مهندسی معدن، متالورژی و نفت، دانشگاه صنعتی آمیکبیر

شیرو اوشندوزاد (دوفی)

گوهه مهندسی معدن، دانشگاه آزاد اسلامی، واحد محلات

رعایت شیب مجاز در مسیر راه آهن، استفاده از تونل در مناطق کوهستانی را اجتناب ناپذیر می‌سازد. تونل کیلومتر ۴۷+۴۰۰ مسیر قزوین-رشت-انزلی در ناحیه‌ی البرز غربی در دامنه‌ی ارتفاعات مشرف به رودخانه‌ی سفیدرود در مجموعه سنگ‌های آندزیت و تراکی آندزیت به سن افسن در دست مطالعه است، مسیر تونل و ترانشه (گودال) ورودی آن در توده‌سنگ‌هایی درزه‌دار با لایه‌بندی ضخیم که توسط گسلی ناحیه‌ی قطع شده قرار گرفته است. ترانشه‌ی خروجی آن نیز در سری رسوبات آبرفتی دوران چهارم واقع شده است، در این پژوهش لغزش‌های موضعی در سطح دامنه، احتمال وجود لغزش و ایجاد نگرانی در مورد امنیت تونل، موضوع پایداری تونل و ترانشه‌ی ورودی و بخش میانی تونل مدنظر است.

طول این تونل ۴۹۰ متر، و بیشینه ارتفاع رویارهی آن حدود ۱۵۰ متر با روند تقریبی شرقی و غربی است. نتایج برداشت‌های زمین‌شناسی مهندسی و درزه‌نگاری آماری استریوگرام‌ها حاکی از وجود حداقل سه سیستم نایپوستگی در توده‌ی سنگی است. به‌منظور تحلیل پایداری گوههای سنگی داخل تونل و ترانشه ورودی، در طول مسیر تونل چندین مقطع در نظر گرفته شد و پس از تهیه‌ی اطلاعات ژئومکانیکی و مشخصات هندسی درزه‌ها، بخش داخلی تونل با استفاده از فرم‌افزار Unwedge و ترانشه ورودی با استفاده از روش ساختاری تحلیل شده است. علاوه بر آن، بحرانی‌ترین مقطع با بیشترین رویارهی با استفاده از فرم‌افزار Phase مدل‌سازی شد. نتایج نشان می‌دهد که در محل‌های یادشده در داخل تونل احتمال وقوع گسیختگی‌های گویی، گسیختگی‌های صفحه‌یی و نیز واژگونی در دیواره‌ی ترانشه‌های ورودی وجود دارد. شیب پایدار برای دیواره‌ی سمت راست ترانشه ۷۲ درجه و برای سمت چپ ترانشه ۵۶ درجه است. از آنجاکه تونل به‌منظور احداث خط آهن ساخته خواهد شد، بررسی نشست کف آن بسیار با اهمیت است. بنابراین مؤلفین براساس داده‌های محققین پیشین، یک رابطه‌ی ریاضی برای تعیین حداکثر ظرفیت باربری مجاز بی‌سنگی بر مبنای RMR ارائه کرده و نشست کف تونل را مورد بررسی قرار دادند. نتایج نشان می‌دهد که با ضریب اطمینان بالا می‌توان نسبت به پایداری کف تونل مطمئن بود.

۱. مقدمه

تراس‌های آبرفتی رودخانه‌یی واقع شده است. در محدوده‌ی توده‌های سنگی در مسیر تونل و ترانشه ورودی برداشت کامل و جامعی از درزه‌ها و شکستگی‌های این واحد‌ها صورت گرفته و ضرایب ژئومکانیکی براساس ارزیابی تونه سنگ بر حسب رده‌بندی ژئومکانیکی RMR و RSR و Q به دست آمده است.

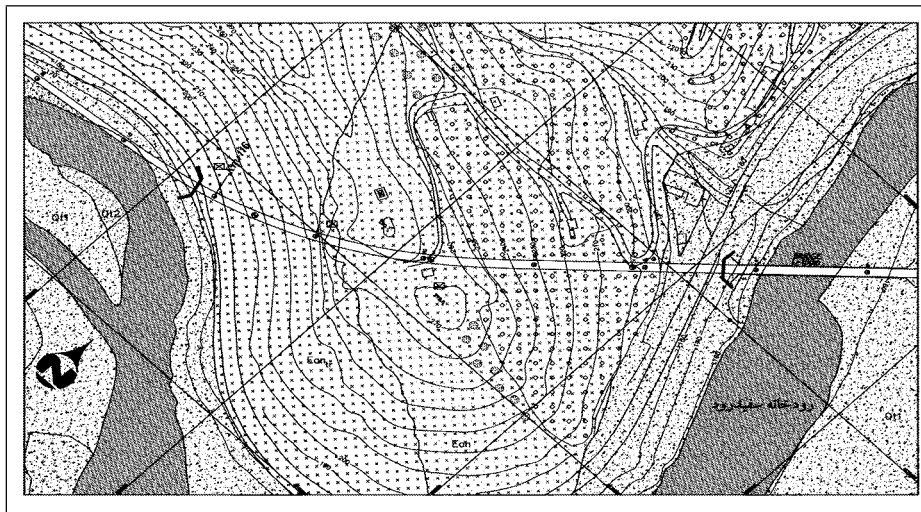
۲. جایگاه زمین‌شناسی

راه آهن قزوین-رشت-انزلی در بخش جنوبی ناحیه‌ی البرز غربی قرار گرفته است. تونل موردنظر مطالعه بعد از گردنه‌ی کوهین، در فاصله‌ی تقریبی ۱۱۶ کیلومتری شهر قزوین، و به طول ۴۹۰ متر ساخته خواهد شد.

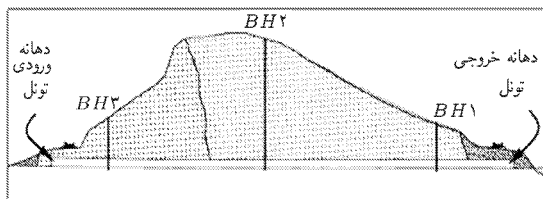
در این بخش از رشته‌کوه البرز سری سنگ‌های ولکانو-سدیمیتی

تونل کیلومتر ۴۷+۴۰۰ راه آهن قزوین-رشت-انزلی در موقعیت جغرافیایی حدود ۴۹°، ۴۲' طول شرقی و ۳۷°، ۱۰' عرض شمالی و در فاصله‌ی تقریبی ۱۱۶ کیلومتری شمال غرب قزوین قرار دارد. تونل به طول ۴۹۰ متر، با امتداد تقریبی شرقی - غربی، و واقع در ارتفاع ۲۱۰ متری سطح دریا است. مسیر تونل دارای قوس افقی به شعاع تقریبی ۵۰۰ متر و شیب طولی آن حدود ۱۲ در هزار سطح مقطع تونل به شکل نعل اسپی با عرض دهانه‌ی تونل ۶/۵ متر و ارتفاع ۹/۵ متر است.

در حال حاضر تونل در دست مطالعه است و هنوز عملیات اجرایی آن شروع نشده است. قسمت اعظم مسیر تونل و ترانشه ورودی آن از میان واحدهای سنگی آندزیتی و تراکی آندزیتی می‌گذرد و دهانه‌ی خروجی تونل در



شکل ۱. نقشه توپوگرافی و زمین‌شناسی محدوده‌ی تونل (مقیاس ۱:۵۰۰۰).



شکل ۲. نیم‌رخ طولی زمین‌شناسی تونل و محل گمانه‌های پیشنهادی (مقیاس ۱:۴۰۰۰).

لایبندی^۱، درزهای^۲ و گسلهای^۳ در مسیر تونل مورد بررسی قرار گرفته است. با توجه به اینکه تقریباً تمامی محدوده‌ی دهانه‌ی خروجی تونل با رسوبات آبرفتی رودخانه یا رسوبات تخریبی و خاک حاصل از فرسایش دامنه‌های اطراف پوشانده شده است، عملأً رخمنون سنگی خاصی برای برداشت‌های لازم وجود نداشت و تحلیل‌های پایداری تنها در بخش‌های سنگی انجام شده است.

۱۰.۳. لایبندی

سنگ‌شناسی کلی مسیر تونل مشتمل است بر توالی‌های آندزیت هوازده، تراکیت و تراکی آندزیت^۴ که در بخش خروجی به رسوبات آبرفتی تبدیل می‌شوند. سن تشکیل این سنگ‌های آتشفشنانی افسون میانی تا بالایی است. سنگ‌های آذرین مذکور اغلب به صورت توده‌ی رخمنون داشته و لایبندی خاصی از خود بروز نمی‌دهند.

۲۰.۳. درزهای

با توجه به پلان زمین‌شناسی و نیم‌رخ طولی زمین‌شناسی تهیه شده، مشاهده می‌شود که بخشی از ترانشه‌ی دهانه‌ی ورودی و تاج تونل درون توده‌سنگ‌های آندزیتی و تراکی آندزیتی تفکیک نشده است که این واحدهای آذرین درزهای مشخص و قابل برداشت دارند. قابل ذکر

شامل آندزیت، تراکی آندزیت، توف، کنگلومرا، و آگلومرا به سن افسون همراه با توده‌های نفوذی و دیگر سنگ‌های آتشفشنانی با همان سن دیده می‌شود^۵ و روى آنها سنگ‌های رسوبی الیکومیوسن که به وسیله‌ی رسوبات نوزن پوشیده شده‌اند، قرار دارد. ساختگاه تونل در امتداد مسیر راه آهن قزوین-رشت-ازلی، درون سنگ‌های آندزیت و تراکی-آندزیت پوشیده با قشری از مواد هوازده و خاک نباتی قرار دارد.

شکستگی‌های موجود در سنگ‌های میزان تونل، باگسلی سراسری با راستای N۰۲۰ در ارتباط است که از فاصله‌ی ۲ کیلومتری از محل تونل عبور می‌کند. در توده سنگ‌های محدوده‌ی تونل و ترانشه‌ی ورودی آن سه سیستم شکستگی در استریوگرام‌های برداشت صحرابی مشخص شده است. از اطلاعات فوق همراه با پارامترهای ژئومکانیکی توده‌سنگ‌ها در خصوص طبقبندی توده سنگ استفاده شده است. در شکل ۱ وضعیت نقشه‌برداری و واحدهای سنگ‌شناختی مختلف به همراه موقعیت مسیر تونل مشخص شده است. لایبندی مشخص در این سنگ‌ها دیده نمی‌شود و در نیم‌رخ طولی (شکل ۲) حد بین واحدهای سنگی دیده می‌شود.

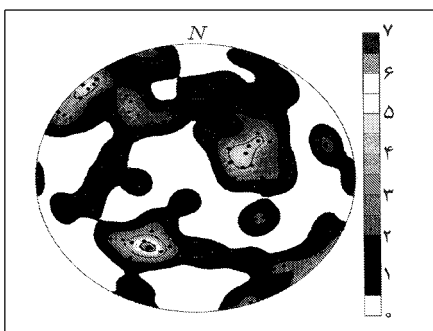
همان‌طور که پیش از این بیان شده، مطالعات انجام شده تاکنون منحصر به برداشت‌های صحرابی و نمونه‌برداری از سطح زمین بوده است. نیم‌رخ طولی از تونل و محل گمانه‌های پیشنهادی که قرار است در آینده حفر شود در شکل ۲ دیده می‌شود.

۳. درزنگاری تونل و ترانشه‌ی ورودی

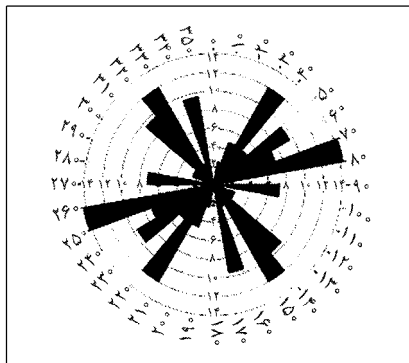
کلیه‌ی سطوح انفصال موجود در واحدهای سنگی مسیر تونل و ترانشه‌ی ورودی تحت عنوان «نایپوستگی» بیان شده و در این بخش به ترتیب

جدول ۱. خصوصیات مهندسی (صحراپایی) آبیوستگی‌های موجود در کلیه‌ی بخش‌ها براساس استاندارد LAEG [۲].

Amount%		Wetness	Infilling%	Weathering ISRM	roughness		Spacing (m)	Aperture (mm)	Length (m)	Dip/Dip dir	Dip/Dip dir	Joint set
Total	Pole				Kind	JRC						
۲۲	۵,۵	Dry	%۸۵ Empty %۱۵ Soil	W۱-W۲	Slightly Rough	۸-۱۰	۰,۳-۰,۵	۲-۱۵	۱-۲	۲۰-۴۵ ۲۲۵-۲۵۵	۳۵,۲۳۵	۱
۲۶	۶	Dry	%۸۵ Empty %۱۵ Soil	W۱-W۲	Slightly Rough	۸-۱۰	۰,۴-۰,۶	۱-۱۰	۰,۵-۲	۸۰-۹۰ ۱۲۰-۱۴۰	۸۵,۱۳۵	۲
۲۰	۷	Dry	%۸۵ Empty %۱۵ Soil	W۱-W۲	Slightly Rough	۸-۱۰	۰,۳-۰,۵	۱-۱۰	۲-۴	۴۵-۵۵ ۲۰-۴۵	۵۰,۳۰	۳
۳۲	درزهای اتفاقی											



شکل ۳. نمودار تراکم قطب سطح درزهای.



شکل ۴. نمودار گل سرخی.

امتداد و شب درزهای و تعمیم آنها به مقطع توپل و امتداد و شب مسیر پروژه می‌توان پایداری بلوک‌های تشکیل شده در نتیجه‌ی تلاقی شکستگی‌های موجود و فضای زیرزمینی را مدل‌سازی کرد. شکل ۵ نمایی از موقعیت مقطع توپل در دامنه‌ی مشرف به رویدخانه‌ی سفیدرود را نشان می‌دهد.

۳.۳. گسل‌ها

با توجه به مشاهدات و مطالعات صحرایی صورت گرفته، فقط یک گسل شاخص در محدوده‌ی نزدیک به مسیر توپل شناسایی شده است که

است که علاوه بر دسته درزهای توصیف شده و برداشت شده در این محدوده درزهای فراوان دیگری نیز در سطح محدوده مورد مطالعه وجود دارند که پراکندگی تصادفی دارند که عوامل به وجود آورنده‌ی آن‌ها هوازدگی، نیروی وزن و ... هستند و مستقیماً تحت تأثیر عوامل زمین‌ساختی - ساختاری نبوده‌اند و بنابراین در مقطع توپل کمتر دیده می‌شوند. نهایتاً در این پژوهش سعی بر آن بوده که تا حد امکان از دسته درزهایی که مستقیماً براثر عوامل زمین‌ساختی به وجود آمده‌اند و در مقطع توپل به احتمال زیاد با آن‌ها مواجه هستند برداشت شده و در تهیی جداول مربوطه از درزهای متفوچه صرف نظر شده است.

۱.۲.۳. دسته‌بندی درزهای

درزهای توصیف شده در این بخش از میان واحدهای آندزیتی و تراکی آندزیتی برداشت شده‌اند و حتماً توپل مورد نظر نیز از درون همین واحد عبور خواهد کرد. در جدول ۱ مشخصات کامل دسته درزهای اصلی مسیر مورد مطالعه ارائه شده است. همچنین در جدول الف موجود در پیوست، فهرست کلیه‌ی درزهای برداشت شده درج شده است.

نمودار تراکم قطب سطح درزهای (شکل ۳) و نیز نمودار گل سرخی (شکل ۴) آنها تهیی شده است. با توجه به موقعیت ایستگاه‌های برداشت درزهای نوع درزهای برداشت شده، به احتمال فراوان سه دسته درزهای اصلی یعنی درزهایی با شب و امتداد میانگین ۸۵,۱۳۵، ۳۵,۲۳۵ و ۵۰,۳۰ در مقطع توپل مشاهده خواهد شد که دلیل این مسئله فراوانی این دسته درزهای و کمی فاصله‌ی ایستگاه‌های برداشت با محور توپل است.

حال با در نظر گرفتن اطلاعات مربوط به این دسته درزهای اصلی و با استفاده از نرم‌افزار Unwedge در واحدهای آندزیتی و تراکی آندزیتی، وضعیت بلوک‌های احتمالی در مقطع توپل مورد تجزیه و تحلیل قرار می‌گیرد، در این تجزیه و تحلیل، با توجه به فاصله، راستا،

از نرم افزار Unwedge کمک گرفته شد، و برای تعیین تغییر شکل های ایجاد شده در جدار تونل و همچنین طراحی سیستم نگه داری مناسب برای تأمین پایداری تونل از نرم افزار Phase^۳ استفاده شده است.

بررسی گوههای حاکی از آن است که از مجموع گوههایی که تشکیل آنها در طول تونل مورد انتظار است، نوعی از گوههای به دلیل تشکیل در کف تونل فاقد هرگونه خطری است، از میان چهار نوع گوهی دیگر که امکان سقوط یا لغزیدن آنها بر روی یک یا دو سطح ناپیوستگی وجود دارد، گوههایی که از وزن و حجم بیشتر و همچنین ضربی اطمینان کمتر نسبت به بقیه گوههای برخوردارند، خطرناک ترین هستند. با توجه به این که این گوههای اغلب در سقف تونل تشکیل می شوند، احتمال تشکیل ۲ گوه کلیدی در تونل وجود دارد (شکل ۶). بزرگترین گوه سقفی در محدوده میانی تونل تشکیل می شود که مشخصاتی به شرح زیر دارد:

- مساحت سطح رخمنون گوه در مقطع تونل: $2/8 (m^2)$

- حجم گوه: $525 (m^3)$

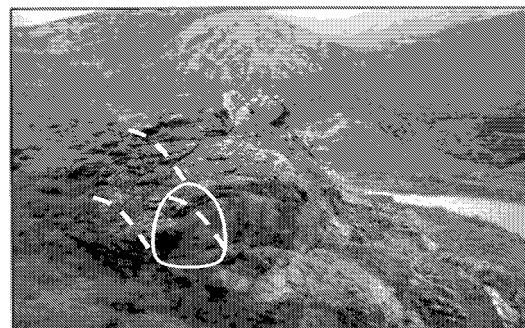
- وزن تقریبی: $14 (ton)$

- نوع حرکت: چرخش بر روی سطح درزه $J2$

- ضربی ایمنی: 561 .

دومین گوه کلیدی در محدوده ورودی تونل و در دیوارهای سمت راست قابل تشکیل است. این گوه با وزن $2/2$ تن، از قابلیت لغزش بر روی سطح دسته درزه $J3$ با مشخصات 5030 را دارد و با برخورداری از ضربی ایمنی پایین (در حد 480) یک گوه کلیدی و نایابدار محسوب می شود (گوه شماره 6 از سری 1 در شکل 6). البته گوههای دیگری که در سقف و دیوارهای تونل از قابلیت و خطر ریزش و لغزش بر روی سطوح ناپیوستگی برخوردارند (شکل 6) نیز گوههای خطرناک و نایابداری هستند که به خودی خود به دلیل داشتن ضربی ایمنی پایین، یا هندسه و حاگیری نامناسب پایدار نیستند ولی نمی توان آنها را جزو گوههایی کلیدی دانست در حقیقت کنترل کننده هی میزان و نوع استحکامات و لوازم پایدارسازی هستند.

این گوههای را می توان به عنوان گوههای اصلی در نظر گرفت، و آنها را به دسته با عنوان «سری یک» و «سری دو» تقسیم کرد. گوههای سری 1 مربوط به محدوده دهانه ورودی تونل، و گوههای سری 2



شکل ۵. نمایی از موقعیت تونل در سری سنگ های ولکانیکی.

با روندی تقریباً شرقی - غربی از فاصله‌ی حدوداً 2 کیلومتری جنوب دهانه ورودی تونل عبور می‌کند، و مستقیماً بر تونل تأثیر نداشته و تنها باعث توسعه‌ی شکستگی‌ها در محدوده‌ی تونل شده است.

۴. طبقه‌بندی مهندسی توده‌سنگ

به منظور ارزیابی کتی و امتیاز دادن به تونل سنگ‌های مسیر تونل بر حسب رده‌بندی ژئومکانیکی (RMR)، ارزیابی توده‌سنگ با استفاده از مفهوم RSR و ارزیابی توده‌سنگ بر حسب سیستم Q^۴ نیازمند حفاری‌های ژئوتکنیکی و کسب اطلاعاتی در مورد شاخص‌کیفی سنگ، مقاومت فشاری، مشخصات درزهای میزان آب موجود و پارامترهای متعدد دیگری است که این اقدامات تا این مرحله انجام نشده است. بدین لحاظ از طریق برداشت‌های صحرایی و تعیین مقاومت سنگ و نیز برداشت درزهای ارزیابی شرایط آنها نسبت به رده‌بندی ژئومکانیکی سنگ‌های مسیر تونل اقدام شده است.^[۴]

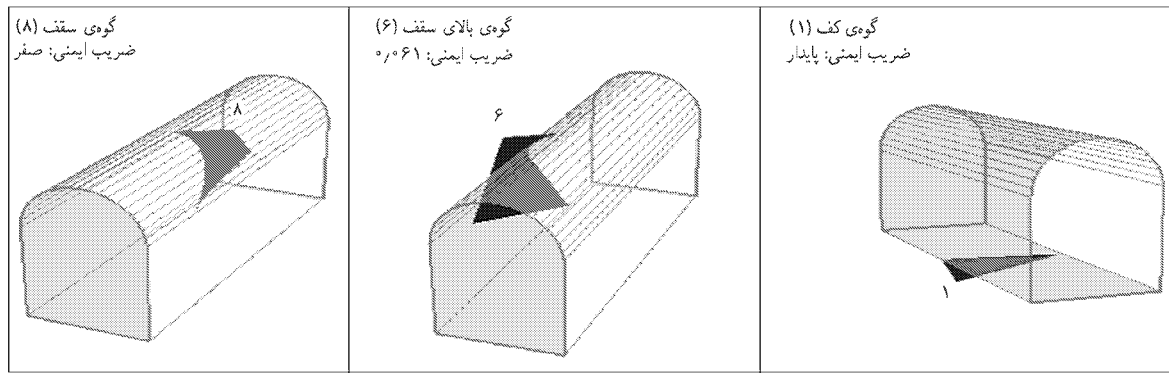
با توجه به مشاهدات و نتایجی که از بررسی‌های ساختگاه این تونل حاصل شده، ارزیابی توده‌سنگ بر حسب رده‌بندی ژئومکانیکی (RMR)، براساس مفهوم RSR، و همچنین بر حسب سیستم Q انجام شده و به همراه سایر خصوصیات فیزیکی و مکانیکی تونل سنگ با استفاده از نرم افزار Roclab، مطابق جدول 2 ارائه می‌شود.

۵. ارزیابی نایابداری توده‌سنگ

به منظور ارزیابی دقیق چگونگی و شکل نایابداری‌هایی که می‌تواند توسط دسته درزهای اصلی در تونل مورد مطالعه امکان بروز پاید

جدول ۲. مشخصات ژئومکانیکی توده‌سنگ براساس برداشت‌های صحرایی^[۱] و با استفاده از تحلیل نرم افزار Roclab.

$E_m(MPa)$	ν	$\sigma_{tm}(MPa)$	$\sigma_{cm}(MPa)$	$\sigma_c(MPa)$	S	m_b	m_i	$(MN/m^3)\gamma$	نوع سنگ
۵۷۸۸/۴	۰/۲۲	۰/۰۶۶	۴/۳۷۰	۷۷۵	۰/۰۰۰۷	۱/۸۶۶	۲۵	۰/۰۲۶۵	آنژیت و تراکی آنژیت
ϕ	C(MPa)	h	k	D	RSR	Q	RMR _{۸۱}	GSI	
۵۵/۸۲	۱/۱۳۳	۱۵۰	۰/۵۶۱	۰/۵	۷۱	۴/۸۱	۵۰/۵	۴۵/۵	



شکل ۶. موقعیت و وضعیت برخی از گوهای تشکیل شده در اطراف تونل.

در طول تونل ما را با شرایط نایابداری ساختاری (به این معنی که کل ساختار تونل در معرض نایابداری و خرابی قرار گیرد) مواجه نخواهد ساخت و نایابداری‌های توده سنگ در این تونل بیشتر به صورت تشکیل بلوك‌های سنگی کوچک است.

با استفاده از شاتکریت با ضخامت بیشینه‌ی ۱۵ سانتی‌متر و میل مهارهای مناسب، ضریب ایمنی گوهها عالم‌آفریش قابل ملاحظه‌بی مخواهد یافت که این مسئله علاوه بر اینکه در خروجی‌های برنامه‌ی Unwedge کنترل شده است، درنتایج و تحلیل‌های حاصل از روش‌های مختلف طبقه‌بندی توده‌سنگ برای این تونل نیز قابل لمس و مشاهده است.

جهقهی حفاری مناسب با توجه به تحلیل‌های صورت پذیرفته روی سیستم‌های درزه و سطوح نایپوستگی قابل تشخیص است. به این صورت که در هر دو قسمت تونل که درزه‌ها و سیستم‌های نایپوستگی آنها شناسایی شده‌اند، درصورتی که حفاری از کیلومتر کمتر به بیشتر صورت پذیرد – یعنی ججههی حفاری به‌سمت NE باشد – بهدلیل آنکه شبیب دسته درزه‌های J2 و J3 هم‌راستا با حفاری است و فقط دسته درزه‌ی J1 با شبیب ملام در مقابل ججههی حفاری قرار می‌گیرد، انجام عملیات حفر تونل در این وضعیت از ارجحیت برخوردار است؛ در حالی که حفر تونل از کیلومتر بیشتر به کمتر، یعنی به سمت جنوب غرب، شرایط را معکوس می‌کند و احتمال حرکت گوهای ایجاد شده در سینه‌ی کار را به‌سمت داخل تونل افزایش می‌دهد.

این مسئله را می‌توان به خوبی در تحلیل‌های صورت پذیرفته توسط برنامه‌ی Unwedge ملاحظه کرد. در حالتی که ججههی حفاری رو به سمت NE (شمال شرق) باشد بهدلیل این که حرکت گوهای ایجاد شده فقط بر روی یک سطح با شبیب ملام یعنی دسته درزه J1 وجود دارد، ضریب ایمنی نسبت به حالتی که ججههی حفاری رو به سمت SW باشد بیشتر می‌شود، چراکه در حالت اخیر در دامتداد J2 و J3 احتمال حرکت گوهای ایجاد شده در این تونل وجود دارد. نهایتاً پیشنهاد

مربوط به محدوده‌ی دهانه خروجی تونل هستند. لیست مشخصات گوهای اصلی که در طول مسیر تونل قابل تشکیل‌اند عبارت‌اند از:

- گوه شماره ۱ از سری ۱، به وزن ۲۰۰ کیلوگرم در سقف تونل با قابلیت شدیداً ریزشی (ضریب ایمنی صفر است).

- گوه شماره ۲ از سری ۱، در سقف تونل به وزن ۱۰۰ کیلوگرم با قابلیت چرخش بر روی سطح درزه J2 با مشخصات ۸۵/۱۳۵ و گوه شماره ۳ در دیواره‌ی سمت چپ تونل (دیواره‌ی غربی) با قابلیت لغزش در امتداد سطوح دسته درزه J1 به مشخصات ۳۵/۲۳۵ و J2 با مشخصات ۸۵/۱۳۵.

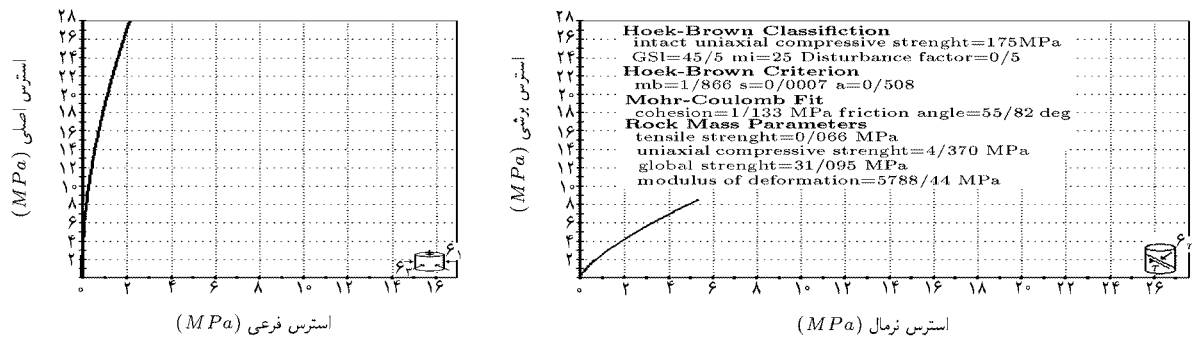
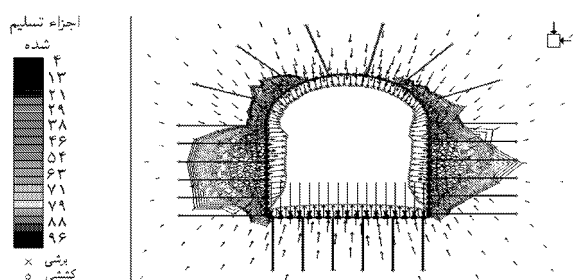
- گوه شماره ۱ از سری ۲، با ضریب ایمنی صفر و قابلیت ریزش از سقف تونل؛ گوه شماره ۲ که این گوه نیز در سقف تونل قرار گرفته و با چرخش روی سطح نایپوستگی J2 با مشخصات ۸۵/۱۳۵ از قابلیت ریزشی فراوانی برخوردار است؛ و گوه شماره ۳ در دیواره‌ی غربی تونل با ضریب ایمنی ۴۶٪ که از قابلیت حرکت لغزش بر روی سطوح دسته درزه J2 با مشخصات ۸۵/۱۳۵ و J1 و J2 با مشخصات ۳۵/۲۳۵ برخوردار است. وزن تقریبی این گوه ۴۰ کیلوگرم است.

- گوه شماره ۶ از سری ۲، با وزن ۲۰۰ کیلوگرم و ضریب ایمنی ۰/۴۸ که در دیواره‌ی سمت راست و با خاصیت لغزشی تشکیل می‌شود.

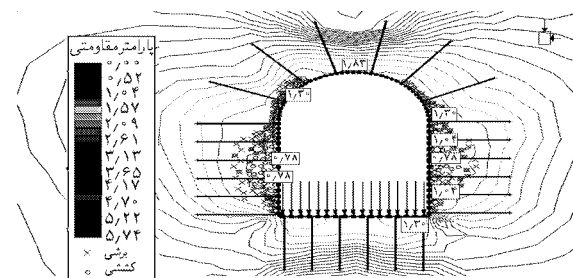
۱.۵. ارزیابی نهایی گوهای

گوهای تشکیل شده در تونل به لحاظ وزنی در گستره‌ی محدودی جای می‌گیرند که از کمینه‌ی وزن ۱۰۰ کیلوگرم تا بیشینه‌ی ۵/۲ تن را شامل می‌شوند. البته با توجه به اینکه نرم افزار Unwedge همیشه بزرگترین وزن ممکن از هر نوع را معرفی می‌کند، در عمل انتظار می‌رود که وزن گوهای اندکی از اعداد و ارقام ارائه شده کمتر باشد. با این وجود شرایط موجود مؤید این نکته است که عدم تشکیل بلوك‌های بسیار حجمی

تحلیل مقاومتی سنگ با استفاده از نرم‌افزار Rocklab

شکل ۷. پوش مور و خصوصیات ژئومکانیکی تودهسنگ براساس آخرین نسخه اصلاح شده معیار شکست.^[۵]

شکل ۸. المان‌های تسلیم شده و گستره‌ی نقاط کششی و برشی در جدار تغییرشکل یافته‌ی تونل.



شکل ۹. توزیع ضریب ایمنی و گستره‌ی نقاط کششی و برشی در جدار تونل.

۰/۷۸ کاهش یافته که این امر نشان‌گر نایپایداری تونل است. پیشنهاد می‌شود برای جلوگیری از تغییر شکل زیاد در جدار تونل، حفاری جبهه کار به صورت ۲ مقطع و به شکل پلکانی انجام گیرد. بنابراین، در سیستم نگه‌داری اصلاحاتی انجام گرفت: میل مهارهای سقف با همان مشخصات، اما با نیروی پیش‌تندیگی $5/50$ MN^0 با فاصله پس از حفر مقطع فوقانی تونل به کار گرفته شدند. میل مهارهای دیواره با فاصله داری $1/2$ مترو همچنین نیروی پیش‌تندیگی $65/65$ MN^0 مورد استفاده قرار گرفتند. از آنجا که نشستت یا آماس کف در تونلهای راه آهن بسیار با اهمیت است، از همین میل مهارها با فاصله داری $1/2$ متر در کف تونل استفاده شد. اما برای کنترل کردن تمکز نتش در دو گوشی کف تونل از نیروی پیش‌تندیگی $65/65$ MN^0 ، و برای سایر میل مهارهای کف از همان نیروی پیش‌تندیگی میل مهارهای دیوارهای (یعنی $5/50$ MN^0) استفاده شد. علاوه بر این، ضخامت شاتکریت مورد

می‌شود که حتی المقدور عملیات حفر تونل چنان طراحی شود که امتداد پیش روی تونل به سمت شمال شرق باشد تا ضریب ایمنی بالاتری در عملیات تأمین شود.

۲.۵. تحلیل پایداری تونل با روش اجزاء محدود

برای تعیین چگونگی رفتار تودهسنگ در برگیرنده‌ی تونل، و به دنبال آن انتخاب سیستم نگه‌داری مناسب برای تونل از نرم‌افزار خصوصیات ژئومکانیکی Phase^۳ استفاده شد. قبل از مدل‌سازی تونل، داده‌های ژئومکانیکی تونل از طریق برداشت‌های صحرایی^[۶] و با استفاده از نرم‌افزار Rodlab^[۷] آماده شد. شکل ۷ پوش مور و خصوصیات مکانیکی تودهسنگ را براساس آخرین نسخه اصلاح شده معیار شکست^[۵] نشان می‌دهد.

سپس به منظور مدل‌سازی تونل، مقطعی که بیشترین روبره^[۸] ۱۵۰ متر را در بر دارد، انتخاب شد. برای مدل‌سازی و تعیین چگونگی حفر، و نیز تعیین سیستم نگه‌داری مناسب از راهنمایی‌های ارائه شده در رده‌بندی ژئومکانیکی تودهسنگ (RMR) و همچنین سیستم^[۹] استفاده شد.

بنابراین از یک لایه‌ی شاتکریت به ضخامت 100 میلی‌متر در سقف و 70 میلی‌متر در دیوارهای، و همچنین از میل مهارهای تمام درگیر با طول 4 مترو و فاصله داری $1/5$ مترو با قطر 22 میلی‌متر و فولاد St.۳۷ با بیشینه ظرفیت باربری $76/76$ MN^0 و همچنین نیروی پیش‌تندیگی $1/1$ MN^0 پس از نصب، استفاده شد. نسبت تنفس افقی به قائم براساس رابطه موجود^[۱۰] $56/56$ برابر $56/56$ تعیین شد. علاوه بر داده‌های فوق، به منظور مدل‌کردن بار اعمالی توسط لوکوموتیو در کف تونل یک بار گستردگی یکنواخت معادل $26 MN/m^0$ اعمال شد. نتیجه‌ی شبیه‌سازی تونل پس از اجرای نرم‌افزار در شکل‌های ۸ و ۹، ارائه شده است.

همان‌طور که ملاحظه می‌شود گستره‌ی المان‌های تسلیم شده کاملاً قابل رؤیت است و در نتیجه مقادیر ضریب ایمنی به کمتر از 1 (یعنی

پوسته‌ی بتی به کار رفته در کف تونل و همچنین لایه بالاست و ریل، با اعمال یک ضریب ایمنی معمول (در مهندسی بی مقدار این ضریب ۵ است) تعیین می‌شود. در ادامه ظرفیت باربری خداکثراً توده‌سنگ بنابر رابطه‌ی پیشنهادی مؤلفین^[۱۰۹] معین می‌شود. سپس با مقایسه‌ی آن‌ها می‌توان به پایداری کف در مقابل نشت می‌برد.

براساس داده‌های حاصل از ۳۶ آزمایش بارگذاری صفحه‌ی برابر عرض بی ۶ متر، توسط مهروتزا^(۱۹۹۳) ظرفیت باربری مجاز بی‌های سنگی بر مبنای RMR به صورت تعدادی داده به دست آمده است.^[۱۱] مقدار جایه‌جایی یا نشت مجاز ۱۲ میلی‌متر در نظر گرفته شده است. مؤلفین با استفاده از تحلیل رگرسیون غیرخطی با کمک داده‌های مهروتزا (جدول ب پوست) رابطه‌ی زیر را با ضریب همیستگی $R^2 = ۰/۹۳۵۷$ به دست آورده و پیشنهاد می‌کنند.

$$q_a = ۰/۰۰۲۹ RMR^{۰/۶۸} \quad (۱)$$

که در آن:

q_a : ظرفیت باربری مجاز توده‌سنگ پس از اعمال ضریب ایمنی (MPa).

RMR: رده‌بندی ژئومکانیکی توده‌سنگ (نسخه‌ی ۱۹۸۹ بینیاوسکی) است.

نتایج حاصل از این رابطه با جداول ارائه شده توسط سینگ^(۱۹۹۱) و مهروتزا^(۱۹۹۳) انتطاق سیار مطلوبی دارد. بنابر رابطه‌ی ۱ ظرفیت باربری مجاز توده‌سنگ ساختگاه تونل راه آهن قزوین-رشت-انزلی کیلومتر ۴۷+۴۰، چنین محاسبه می‌شود:

$$q_a = ۰/۰۰۲۹(۰/۵) = ۰/۱۰۸ \quad (MPa)$$

لوكوموتیوی که پس از احداث راه آهن از این خط عبور می‌کند، باید از نوع GT26CW با ابعاد ۱۹/۵۰۷ متر (طول)، ۲/۸۱۹ متر (عرض)، ۳/۹۰۳ متر (ارتفاع) و وزن کل ۱۱۹/۶ تن باشد. اگر کف تونل به ضخامت ۱/۵ متر بالاست ریزی شود، (با سنگ آهک خردشده به وزن حجمی $۲KN/m^3$) بیشینه‌ی بار اعمالی به کف عبارت است از:

$$۱/۵ \times ۶/۵ \times ۱۹/۵ \times ۱۹/۲ = ۳۶۵۰/۴ KN$$

بار ناشی از جرم لوكوموتیو، در شرایطی که دو لوكوموتیو در داخل تونل و در مسیر رفت و برگشت همزمان وارد تونل شوند، عبارت است از:

$$۲ \times ۱۱۹/۶ \times ۹/۸۱ = ۲۳۴۶/۵۵ KN$$

بار ناشی از وزن پوسته‌ی بتی کف تونل با وزن حجمی $۲/۵KN/m^3$ عبارت است از:

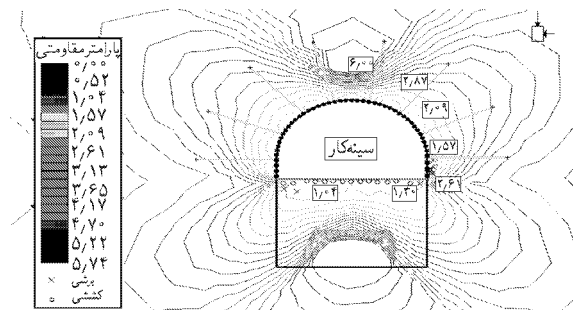
$$۰/۱ \times ۶/۵ \times ۲۲/۵ = ۲۹۷/۹ KN$$

استفاده در سقف و دیواره و کف، یکسان و برابر با ۱۰۰ میلی‌متر و البته با افزایش مقاومت فشاری از ۲۵ به $MN^{۳۰}$ به مدل منظور و در مدل اعمال شد. لازم به ذکر است که نتایج حاصله در بی‌ساخت ۱۲ مدل و تغییر وضعیت آن‌ها به دست آمده است، و شرایط ایمنی و پایداری تونل را تأمین کرد. بیشینه جایه‌جایی نهایی از ۱۸/۶ میلی‌متر در مدل اول، به ۳/۸ میلی‌متر در آخرین مدل کاهش یافت. شکل‌های ۱۰ و ۱۱ وضعیت تونل را در آخرین مدل نشان می‌دهند.

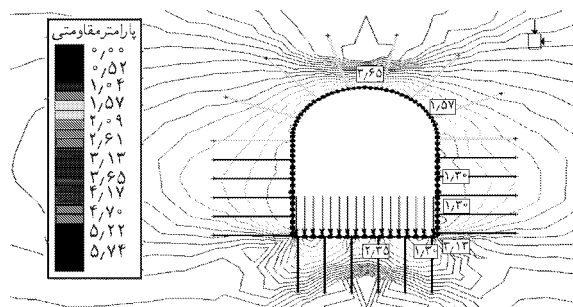
چنان‌که در شکل‌های ۱۰ و ۱۱ مشخص است، مقدار ضریب ایمنی از ۱/۳۵ کمتر نشده است، و نیز هیچ یک از میل مهارها و هیچ بخشی از پوسته‌ی شاتکریت تسلیم نشده. بررسی مقادیر جایه‌جایی و عدم وجود المان‌های تسلیم شده، متناسب پایداری تونل با شرایط اخیر است.

۳.۵. نشت کف تونل

همان‌طور که پیش‌تر گفته شده خطوط راه آهن به شیب و همچنین همواری مسیر بسیار حساس‌اند. اندکی نشت نامساوی در خط آهن باعث ایجاد ضربه در حین عبور قطار می‌شود، این ضربات در طول عمر تونل که معمولاً آن را ۱۵۰ سال در نظر می‌گیرند، سبب اعمال پار دینامیکی مداوم به ریل‌ها و جدار تونل می‌شود. این امر می‌تواند در دراز مدت باعث کاهش چسبندگی بین جدار تونل و توده‌سنگ و همچنین دوغاب میل مهارها و توده‌سنگ و خستگی در ریل‌ها شود. بنابراین در این قسمت بیشینه‌ی تنش اعمالی ناشی از بار قطار، وزن



شکل ۱۰. توزیع ضریب ایمنی در جدار تونل (نیمه بالائی مقطع) در مدل ۱۲.



شکل ۱۱. توزیع ضریب ایمنی در جدار تونل (تمام مقطع) در مدل ۱۲.

محدوده‌ی نایابداری قرار دارد و پایدار می‌ماند. از لحاظ نایابداری‌های واژگونی یا نگون‌ساری (Toppling) نیز مسئله‌ی در تراشه‌ی مذکور وجود ندارد. در نتیجه عامل کنترل‌کننده‌ی شیب شیروانی در این تراشه گوهه ۲۳ است که برای مهار این نوع گوهه‌ها چنان که پیش‌تر بیان شد، بیشینه‌ی شیب مجاز ۳ به ۱ است. اعمال این شیب، حرکت گوهه‌ی درزه‌های گوهساز را خشی می‌کند و باعث پایداری تراشه می‌شود.

۴.۴.۵. تراشه‌ی ورودی، دیواره‌ی سمت چپ

قطب گوهه ۱۲ به دلیل قرار گرفتن در خارج از مخروط پایداری دارای قابلیت حرکت از نوع گوهه‌ی است. گوهه مذکور را می‌توان با اعمال شیب بیشینه‌ی ۵۶ درجه یا ۱/۵ به ۱ پایدار کرده و مانع از حرکت آن شد. قطب صفحه‌ی ۱ نیز (مربوط به دسته درزه ۱J) با قرار گرفتن در خارج از عناصر مشخص‌کننده‌ی نایابداری صفحه‌ی، عملأً پایدار مانده و حرکتی از این نوع نخواهد داشت. از دیدگاه حرکت نگون‌ساری نیز مشکل خاصی در این دیواره مشاهده نمی‌شود. لذا عامل نهایی تعیین‌کننده‌ی شیب در دیواره‌ی سمت چپ دسته درزه‌های گوهساز ۱J و ۲J هستند که با در نظر گرفتن شیب تراشه‌ی ۵۶ درجه یا ۱/۵ به ۱ هر دو نوع حرکت گوهه‌ی و صفحه‌ی این درزه‌ها کنترل شده و اتفاق نمی‌افتد.

۴.۵. سر در ورودی

قطب گوهه‌های ۱۲ و ۱۳ از قابلیت نایابداری نوع گوهه‌ی برخوردار است که در این میان قطب گوهه ۱۳ با قرار گرفتن در محدوده‌ی مخروط پایداری عملأً بدون حرکت و پایدار می‌ماند، ولی قطب گوهه ۱۲ با قرار گرفتن در زیرپوش لغز ۴۵ درجه و در محدوده‌ی پوش لغز ۴۲ درجه از قابلیت کمی برای پایدارسازی از طریق اعمال شیب شیروانی برخوردار است و برای مهار و کنترل حرکت آن باید از تمهیدات دیگر نظیر شاتکریت و میل مهارهای کششی نیز استفاده کرد.

به لحاظ نایابداری صفحه‌ی نیز قطب صفحه‌ی شماره ۱ مربوط به دسته درزه ۱J در شرایط تعادلی مشابه قطب گوهه ۱۲ قرار داشته و با استفاده از وسایل و روش‌های پایدارسازی مرسوم که برای مورد قبل بهکار رفته است، به راحتی قابل کنترل است. به لحاظ دیدگاه نایابداری نوع نگون‌ساری مشکل خاصی در محدوده‌ی پرتال ورودی این تونل مشاهده نمی‌شود، در نتیجه به نظر می‌رسد که پرتال ورودی این تونل مورد بحث را بتوان با اعمال شیب شیروانی در حد ۳ به ۱ و اجرای همزمان شاتکریت و نصب میل مهارهای تمام فولادی و کششی مناسب به طول حداقل ۳ متر و قطر ۲۰ میلی‌متر پایدار ساخت. ضخامت تخمینی شاتکریت در این مرحله از مطالعات بر روی پرتال ورودی ۱۰ سانتی‌متر در دو مرحله همراه با یک شبکه تور سیمی به مشخصات $\phi 6 @ 10\text{ cm}$ بهمنظور ایمنی و پیوستگی بیشتر توده‌سنگ بالای پرتال، پیش‌بینی شده است.

و بنابراین تنش اعمالی به کف عبارت است از:

$$\frac{0,5(MPa)}{6,5 \times 19,5} = \frac{(297,9 + 2246,55 + 3650,4) \times 10^{-3}}{6,5}$$

با مقایسه‌ی بیشینه ظرفیت باربری مجاز می‌سنگی و بیشترین تنش اعمالی به کف تونل می‌توان به پایداری کف تونل در مقابل نشست اطمینان داشت، یعنی: $2,108 > 0,50$.

۴.۶. تحلیل پایداری تراشه‌ی ورودی و سر در تونل

تحلیل‌های سینماتیک بیامون سه نوع پایداری گوهه‌ی (wedge)، صفحه‌ی (Planar) و واژگونی (Toppling) [۱۴-۱۲] برای تراشه‌های ورودی و خروجی این تونل با استفاده از روش ویلی دانکن [۱۵] انجام گرفته است. سنگ‌شناسی تراشه‌ی ورودی تونل از نوع گدازه‌های آندزیتی و تراکی آندزیتی تفکیک نشده است و در قسمت خروجی تونل با توجه به وجود پادگانهای آبرفتی رودخانه‌ی سفیدرود و عملکرد عوامل فرسایش در محل رسوبات آبرفتی و سیمانی شده ملاحظه می‌شود که عملأً نمی‌توان درزه‌بنداری خاصی را در آنها انجام داد. در این مرحله به علت عدم وجود نتایج آزمایشگاهی در هردو سنگ‌شناسی زویه‌ی اصطکاک داخلی را می‌توان بر مبنای اطلاعات جدول ۲ به میزان ۵۵/۸۲ درجه برداشت شده از درزه‌ها و سطوح لایه‌بندی در محدوده‌ی تراشه‌ها و نیز با استفاده از نرم‌افزار «Rock Work ۹۹» قطب درزه‌ها به همراه قطب بندار برخورد درزه‌ها با یکدیگر، بر روی استریونت هم مساحت (Schmidt net) پیاده شد. سپس با استفاده از الگوی ویلی دانکن پوش‌های لغزش گوهه‌ی، مخروط اصطکاک داخلی و پوش‌های لغزش صفحه‌ی بر روی شبکه‌ی اشمیت رسم شد. در تونل مورد مطالعه با توجه به آذربین بودن سنگ‌شناسی و عدم شناسایی لایه‌بندی خاص در سنگ‌های دربرگیرنده‌ی تونل، عملأً سطوحی بنام لایه‌بندی در تحلیل‌ها در نظر گرفته نشده است.

برای تحلیل نایابداری از نوع نگون‌ساری از رابطه‌ی گودمن [۱۷] استفاده شده است که براساس آن در صورت برقراری رابطه‌ی شبیه تراشه $F_i \leq S_i$ لایه - ۱ نایابداری از نوع نگون‌ساری رخ خواهد داد.

۴.۶. تراشه‌ی ورودی، دیواره‌ی سمت راست

قطب گوهه‌های ۱۳ و ۲۳ از قابلیت لغزش از نوع گوهه‌ی برخوردارند که در این میان قطب گوهه ۱۳ به دلیل قرار گرفتن در محدوده‌ی مخروط پایداری عملأً قادر هر نوع حرکتی است و پایدار می‌ماند. قطب گوهه ۲۳ نیز به دلیل قرار گرفتن در مز پوش لغزش ۷۵ درجه با اعمال شیب‌های کمتر از این مقدار پایدار می‌ماند، ولذا شیب ۳ به ۱ یا ۷۲ درجه را برای مهار حرکت و نایابداری این گوهه می‌توان منظور کرد. از دیدگاه نایابداری نوع صفحه‌ی قطب صفحه ۳ مربوط به دسته درزه ۳J خارج از

۶. نتیجه‌گیری

در این تحقیق تحلیل پایداری تونل و تراشه‌ی ورودی و گوههای داخل تونل راه آهن قزوین-رشتازانلی کیلومتر ۴۷+۴۰۰ توسط نرم‌افزار Phase^۳ Unwedge بهمنظور طراحی سیستم نگهداری مناسب انجام گرفت. با توجه به سنگی بودن تراشه‌ی ورودی در این تونل و مقاومت فشاری بالایی که در بخش سنگ بکر این قسمت توسط بررسی‌های صحرایی ملاحظه شده است، در نگاه اول شاید بتوان نتیجه گرفت که می‌توان به راحتی با استفاده از میل مهار و شاتکریت بر میزان شب شیروانی تراشه‌ها برای کاهش حجم عملیات حفر تراشه و کوهبری افزود. اما در این مطالعه با استثناء یک مورد، استفاده از چنین روشی توصیه نشده است، زیرا با توجه به سابقه‌ی بروز انواع حرکت‌های لغزشی و توده‌بی در این منطقه شاید به جرأت بتوان گفت عامل اصلی تمامی آن‌ها فعالیت و حرکت گسل‌های منطقه است. ایجاد شب شیروانی تند با استفاده از شاتکریت و میل مهار به دلیل تشکیل مورفولوژی قائم و صخره‌بی در تراشه‌ها می‌تواند خود عاملی برای افزایش تنش‌های مؤثر در پای دیواره‌ها شده و در نتیجه باعث بروز

پانوشت

1. bedding
2. joints
3. faults

منابع

1. Alavi, M. "Tectono stratigraphic synthesis and structural style of the alborz mountain system in iran", *J. Geodynamic*, **21**(1), pp. 1-33 (1996).
2. Ortigao, J., Sayao, A., "Handbook of slope stabilization", Springer, p. 478 (2004).
3. Sakurai, S., "Lessons learned from field measurements in tunneling", *Tunneling and underground space technology*, **12**(4), pp. 453-460 (1997).
4. دفتر فنی امور طرح‌های وزارت راه و ترابری ایران گزارش مرحله یک تونل کیلومتر ۴۷+۴۰۰ راه آهن قزوین-رشتازانلی، ۱۴۰ ص (۱۳۸۲).
5. Hoek, E., Carranza-Torres, C. and Corkum, B., Hoek-Brown failure criterion-2002 Edition, Proc. North American Rock Mechanics Society meeting in Toronto in July (2002).
6. Biemiawski, Z.T., "Engineering rock mass classification", *John Wiley & Sons*, p. 251 (1989).
7. گودمن، ر. «مکانیک سنگ»، ترجمه‌ی محمد دانش، انتشارات فولاد، ۱۳۷۴ ص ۶۴۵.
8. Hoek, E., strength of rock and rock masses, *ISRM News Journal*, **2**(2), pp. 4-16 (1994).
9. Sheory, P.R., *Empirical Rock Failure Criteria*, John Wiley & Sons Ltd (1997).
10. Raymond, L., Lowrie, P., "SME mining reference Handbook", SME, p. 447 (2002).
۱۱. سینگ، گوبل، «روزه‌بندی توذه‌سنگ»، ترجمه‌ی رسول آجل لوییان و داود محمدی، انتشارات فن اوران، ۳۴۹ ص (۱۳۸۲).
۱۲. باودن، کیسر، هوک، «نگهداری حفریات زیرزمینی در سنگ‌های سخت»، ترجمه‌ی مرتضی قاروزی نیک، انتشارات مؤسسه علمی فرهنگی نص، ۲۷۰ ص (۱۳۸۰).
۱۳. هراتی، محمد رضا، «طبقه‌بندی مهندسی سنگ‌ها در ارتباط با طراحی فضاهای زیرزمینی»، شرکت انتشارات فنی تهران، ۱۶۸ ص (۱۳۷۶).
۱۴. هوک، اورت. «مهندسی سنگ کاربردی»، ترجمه عبدالرضا طاهریان، انتشارات دهخدا، ۵۱۲ ص (۱۳۸۱).
15. Wyllie, D., Mah, C., "Rock slope engineering", Spon Press, p. 431 (2004).

پیوست

جدول الف. فهرست مشخصات کلیه درزهای برداشت شده در محدوده تول راه آهن قزوین-رشت سازلی کیلومتر [۱].۴۷+۴۰۰

d/Dip	عمق	شماره	d/Dip	عمق	شماره	d/Dip	عمق	شماره
۲۱۵	۴۵	۵۳	۲۵۳	۷۵	۲۷	۳۵۰	۵۰	۱
۳۲۰	۷۵	۵۴	۱۶۰	۴۲	۲۸	۳۵	۶۲	۲
۱۹۵	۱۱۰	۴۵	۵۵	۱۸۵	۴۶	۲۹	۶۳	۳
۱۶۵	۸۵	۵۶	۲۲	۵۰	۳۰	۲۰۰	۶۵	۴
۲۷۰	۱۴۵	۶۵	۵۷	۲۱۵	۶۰	۳۱	۳۵	۵
۱۴۰	۸۷	۵۸	۱۴۵	۷۵	۳۲	۳۰	۵۰	۶
۸۰	۲۵	۵۹	۴۵	۲۵۵	۳۳	۱۳۵	۸۵	۷
۲۲۵	۳۴	۶۰	۴۵	۵۵	۳۴	۵۰	۶۰	۸
۱۶۵	۷۳	۶۱	۱۲۰	۸۰	۳۵	۲۲۰	۷۲	۹
۳۵	۴۰	۶۲	۱۲۵	۷۰	۳۶	۰	۴۵	۱۰
۲۳۵	۴۰	۶۳	۳۰	۵۲	۳۷	۲۹۵	۷۸	۱۱
۲۳۰	۴۳	۶۴	۲۵۴	۷۵	۳۸	۴۰	۵۳	۱۲
۲۷۰	۸۸	۶۵	۳۴۰	۸۲	۳۹	۱۲۰	۹۰	۱۳
۳۴۰	۹۰	۶۶	۲۰۳	۴۵	۴۰	۱۲۰	۸۵	۱۴
۱۲۵	۶۰	۶۷	۳۳۲	۵۸	۴۱	۱۴۳	۵۰	۱۵
۷۵	۷۵	۶۸	۲۱۵	۸۰	۴۲	۸۵	۳۰	۱۶
۲۴۲	۲۰	۶۹	۳۲۵	۷۳	۴۳	۱۳۵	۴۵	۱۷
۲۴۰	۵۴	۷۰	۲۴۴	۲۵	۴۴	۱۳۵	۹۰	۱۸
۲۷۰	۲۰	۷۱	۱۳۰	۸۴	۴۵	۳۵	۴۸	۱۹
۲۴۰	۴۵	۷۲	۳۵	۳۳	۴۶	۱۸۰	۵۷	۲۰
۲۵۵	۳۰	۷۳	۱۳۸	۸۵	۴۷	۲۸	۵۰	۲۱
۲۵۵	۲۵	۷۴	۲۲۵	۲۵	۴۸	۱۴۰	۵۵	۲۲
۷۵	۵۸	۷۵	۲۰	۱۵	۴۹	۱۸	۴۵	۲۳
۲۴۰	۳۰	۷۶	۱۹۵	۲۸	۵۰	۲۷۰	۴۵	۲۴
۳۱۰	۴۰	۷۷	۳۱۰	۸۰	۵۱	۱۵۵	۳۹	۲۵
			۹۰	۵۰	۵۲	۳۰۵	۴۳	۲۶

جدول ب. فهرست داده‌های ظرفیت باربری مجازی‌های سنگی بر مبنای (MHR) [۲].۱۹۹۳ (مهروترا)

qa (MPa)	RMR	شماره	qa (MPa)	RMR	شماره	qa (MPa)	RMR	شماره
۲,۶۷۷	۵۶,۳۰۴	۲۷	۱,۰۵۱	۴۱,۳۰۴	۱۴	۰,۴۲۵	۲۰,۰۰۰	۱
۲,۷۵۰	۵۶,۳۰۴	۲۸	۱,۶۸۷	۴۵,۰۰۰	۱۵	۰,۵۷۳	۲۰,۰۰۰	۲
۲,۸۳۳	۵۶,۳۰۴	۲۹	۱,۸۳۳	۴۴,۳۴۸	۱۶	۰,۵۸۳	۲۴,۳۴۸	۳
۵۵,۴۲۵	۱,۸۹۶	۳۰	۲,۶۲۵	۴۶,۳۰۴	۱۷	۰,۴۷۹	۲۷,۱۷۴	۴
۲,۵۰۰	۵۳,۲۶۱	۳۱	۱,۸۹۶	۴۸,۲۶۱	۱۸	۰,۸۹۶	۲۵,۲۱۷	۵
۲,۶۸۷	۵۱,۳۰۴	۳۲	۱,۸۶۲	۵۰,۰۰۰	۱۹	۰,۷۰۸	۲۸,۹۱۳	۶
۲,۱۰۴	۵۸,۴۷۸	۳۳	۲,۰۵۲	۴۸,۲۶۱	۲۰	۰,۸۳۳	۳۱,۹۵۷	۷
۲,۷۰۸	۵۸,۴۷۸	۳۴	۲,۲۹۲	۴۸,۲۶۱	۲۱	۰,۹۱۶	۳۰,۲۱۷	۸
۲,۴۵۸	۶۰,۰۰۰	۳۵	۱,۹۱۷	۵۳,۹۱۳	۲۲	۱,۰۸۳	۳۰,۲۱۷	۹
۲,۸۷۵	۶۰,۰۰۰	۳۶	۲,۲۹۲	۵۳,۹۱۳	۲۳	۱,۲۲۱	۳۴,۳۴۸	۱۰
۳,۰۰۰	۶۰,۰۰۰	۳۷	۲,۲۵۰	۵۵,۴۳۵	۲۴	۱,۱۲۵	۳۸,۲۶۱	۱۱
۳,۲۵۰	۶۰,۰۰۰	۳۸	۲,۲۷۱	۵۶,۳۰۴	۲۵	۱,۳۴۴	۳۸,۰۴۴	۱۲
۳,۰۸۳	۵۹,۱۳۰	۳۹	۲,۴۱۷	۵۶,۳۰۴	۲۶	۱,۳۱۳	۴۲,۳۹۱	۱۳